


Costruttore		N° test	EAPR-GS-7617/12
		Luogo	Schruns
Modello	SuSi S	Bad Grönenbach:	17.08.12



EAPR e.V - Marktstr. 11 - D-87730 Bad Grönenbach - Germany

Data del test	Peso minimo al decollo 16.07.12		Peso massimo al decollo 24.06.12	
Test pilot	Hannes Tschofen		Anselm Rauh	
Selletta	Academy light Equipment		EAPR Testequipment	
Peso totale al decollo	80 kg		110 kg	

Classificazione	A
------------------------	----------



Criteria del test	41106	Valutazione	41085	Valutazione
1. Gonfiaggio/decollo - 4.1.1				
Comportamento nel gonfiaggio	Gonfiaggio dolce, facile e progressivo	A	Gonfiaggio dolce, facile e progressivo	A
Tecnica specifica richiesta per il decollo	No	A	No	A
2. Atterraggio - 4.1.2				
Tecnica specifica richiesta per l'atterraggio	No	A	No	A
3. Velocità nel volo rettilineo - 4.1.3				
Velocità di trim superiore a 30 km/h	Si	A	Si	A
Velocità a freni completamente abbassati superiore a 10 km/h	Si	A	Si	A
Velocità minima	inferiore a 25 km/h	A	inferiore a 25 km/h	A
4. Controllo del punto di stallo dichiarato dal costruttore - 4.1.4				
Peso massimo in volo fino a 80 kg		-		-
Peso massimo in volo da 80 kg a 100 kg	Crescente > 60cm	A		-
Peso massimo in volo superiore a 100 kg		-	Crescente >65 cm	A
5. Stabilità sull'asse di beccheggio in uscita dal volo accelerato - 4.1.5				
Angolo di picchiata in uscita	Picchiata inferiore a 30°	A	Picchiata inferiore a 30°	A
Consequente chiusura	No	A	No	A
6. Stabilità sull'asse di beccheggio agendo sui comandi nel volo accelerato - 4.1.6				
Consequente chiusura	No	A	No	A
7. Stabilità sull'asse di rollio e smorzamento - 4.1.7				
Oscillazioni	Si autostabilizza	A	Si autostabilizza	A
8. Stabilità in spirale neutra - 4.1.8				
Tendenza a riprendere il normale assetto di volo	Uscita spontanea	A	Uscita spontanea	A
9. Comportamento durante una brusca inversione di 360° - 4.1.9				
Tasso di caduta dopo due virate	fino a 12 m/s	A	compresa fra 12 m/s e 14 m/s	A
10. Chiusura frontale simmetrica - 4.1.10				
Ingresso	Arretra meno di 45°	A	Arretra meno di 45°	A
Uscita	Spontaneo in meno di 3 sec.	A	Spontaneo in meno di 3 sec.	A
Angolo di picchiata in uscita	0° - 30° Mantiene la traiettoria di volo	A	0° - 30° Mantiene la traiettoria di volo	A
Consequente cascata di configurazioni	No	A	No	A
Ingresso	Arretra meno di 45°	A	Arretra meno di 45°	A
Uscita	Spontaneo in meno di 3 sec.	A	Spontaneo in meno di 3 sec.	A
Angolo di picchiata in uscita	0° - 30° Mantiene la traiettoria di volo	A	0° - 30° Mantiene la traiettoria di volo	A
Consequente cascata di configurazioni	No	A	No	A
11. Uscita dallo stallo paracadutale - 4.1.11				

Fase paracadutale raggiungibile		Si		Si			
Uscita		Spontaneo in meno di 3 sec.		A		Spontaneo in meno di 3 sec.	
Angolo di picchiata in uscita		0° - 30°		A		0° - 30°	
Cambio di direzione		Cambio di direzione inferiore a 45°		A		Cambio di direzione inferiore a 45°	
Conseguente cascata di configurazioni		No		A		No	
12. Uscita da uno stallo di B rilasciato molto lentamente - 4.1.12							
Uscita		Spontaneo in meno di 3 sec.		A		Spontaneo in meno di 3 sec.	
Conseguente cascata di configurazioni		No		A		No	
13. Uscita da uno stallo simmetrico trattenuto (post stallo) - 4.1.13							
Angolo di picchiata in uscita		0° - 30°		A		0° - 30°	
Chiusura		Senza conseguente chiusura		A		Senza conseguente chiusura	
Conseguente cascata di configurazioni		No		A		No	
Oscilla indietro		Inferiore a 45°		A		Inferiore a 45°	
Tensione delle linee		Tensione della maggior parte delle linee		A		Tensione della maggior parte delle linee	
14. Chiusura asimmetrica - 4.1.14							
Cambio di direzione prima della riapertura		< 90°		Angolo di picchiata o di rollio compreso entro		0° - 15°	
Comportamento nella riapertura		Riapertura spontanea		A		Riapertura spontanea	
Variazione totale della direzione		Inferiore a 360°		A		Inferiore a 360°	
Conseguente chiusura della semiala opposta		No		A		No	
Conseguente twist		No		A		No	
Conseguente cascata di configurazioni		No		A		No	
Cambio di direzione prima della riapertura		< 90°		Angolo di picchiata o di rollio compreso entro		15° - 45°	
Comportamento nella riapertura		Riapertura spontanea		A		Riapertura spontanea	
Variazione totale della direzione		Inferiore a 360°		A		Inferiore a 360°	
Conseguente chiusura della semiala opposta		No		A		No	
Conseguente twist		No		A		No	
Conseguente cascata di configurazioni		No		A		No	
Cambio di direzione prima della riapertura		< 90°		Angolo di picchiata o di rollio compreso entro		0° - 15°	
Comportamento nella riapertura		Riapertura spontanea		A		Riapertura spontanea	
Variazione totale della direzione		Inferiore a 360°		A		Inferiore a 360°	
Conseguente chiusura della semiala opposta		No		A		No	
Conseguente twist		No		A		No	
Conseguente cascata di configurazioni		No		A		No	
Cambio di direzione prima della riapertura		< 90°		Angolo di picchiata o di rollio compreso entro		15° - 45°	
Comportamento nella riapertura		Riapertura spontanea		A		Riapertura spontanea	
Variazione totale della direzione		Inferiore a 360°		A		Inferiore a 360°	
Conseguente chiusura della semiala opposta		No		A		No	
Conseguente twist		No		A		No	
Conseguente cascata di configurazioni		No		A		No	
15. Cambio di direzione in seguito a una chiusura asimmetrica trattenuta - 4.1.15							
Capacità a mantenere il volo rettilineo		Si		A		Si	
Rotazione di 180° in 10 sec. dalla parte opposta alla chiusura		Si		A		Si	
Differenza di trazione del comando fra la virata, lo stallo e la vite piatta negativa		Trazione simmetrica dei freni superiore al 50%		A		Trazione simmetrica dei freni superiore al 50%	
16. Tendenza al negativo a velocità di trim - 4.1.16							
Conseguente vite piatta negativa		No		A		No	
17. Tendenza al negativo alle basse velocità - 4.1.17							
Conseguente vite piatta negativa		No		A		No	
18. Uscita da una vite piatta negativa - 4.1.18							
Angolo di rotazione in vite piatta negativa dopo il rilascio del comando		Esce dalla spirale in meno di 90°		A		Esce dalla spirale in meno di 90°	
Conseguente cascata di configurazioni		No		A		No	
19. Stallo di B - 4.1.19							
Cambiamento di direzione dopo il rilascio		Cambio di direzione inferiore a 45°		A		Cambio di direzione inferiore a 45°	
Comportamento prima del rilascio		Mantiene la stabilità senza alcuna deformazione del profilo		A		Mantiene la stabilità senza alcuna deformazione del profilo	
Uscita		Spontaneo in meno di 3 sec.		A		Spontaneo in meno di 3 sec.	
Angolo di picchiata in uscita		0° - 30°		A		0° - 30°	
Conseguente cascata di configurazioni		No		A		No	
20. Grandi orecchie - 4.1.20							
Procedura d'ingresso		Sistemi di controllo dedicati		A		Sistemi di controllo dedicati	
Comportamento durante le grandi orecchie		Volo stabile		A		Volo stabile	
Uscita		Spontaneo in meno di 3 sec.		A		Spontaneo in meno di 3 sec.	
Angolo di picchiata in uscita		0° - 30°		A		0° bis 30°	
21. Grandi orecchie con acceleratore - 4.1.21							
Procedura d'ingresso		Sistemi di controllo dedicati		A		Sistemi di controllo dedicati	
Comportamento durante le grandi orecchie		Volo stabile		A		Volo stabile	
Uscita		Spontaneo in meno di 3 sec.		A		Spontaneo in meno di 3 sec.	
Angolo di picchiata in uscita		0° - 30°		A		0° bis 30°	
Comportamento durante le grandi orecchie trattenute dopo il rilascio dell'acceleratore		Volo stabile		A		Volo stabile	
22. Comportamento in uscita da una spirale stretta - 4.1.22							

Tendenza a riprendere il normale assetto di volo	Uscita spontanea	A	Uscita spontanea	A
Angolo di rotazione per ritrovare il normale assetto di volo	Inferiore a 720°, uscita spontanea	A	Inferiore a 720°, uscita spontanea	A
23. Tecniche alternative di pilotaggio - 4.1.23				
Virata di 180° possibile in 20 sec.	Si	A	Si	A
Conseguente vite piatta negativa o stallo	No	A	No	A
24. Altre procedure e/o configurazioni di volo descritte nel manuale d'uso - 4.1.24				
Esecuzione corretta della manovra / manuale		NA		NA
Manovra adatta per i piloti principianti		NA		NA
Conseguente cascata di configurazioni		NA		NA
25. Osservazioni del test pilot				
Copyright Ralf Antz 2010	Il rapporto del test di certificazione viene generato automaticamente e non necessita di alcuna firma			